

Přednáška 3

Orientované grafy a binární relace

V této části se seznámíme s pojmy:

- acyklický graf, testování acykličnosti, topologické uspořádání uzlů/hran orientovaného grafu
- graf binární relace na množině, graf složení relací, složení grafů, tranzitivní uzávěr grafu

Skripta odstavec 2.2, str. 33 - 36

Co víme: silně souvislý graf má každou hranu v nějakém cyklu

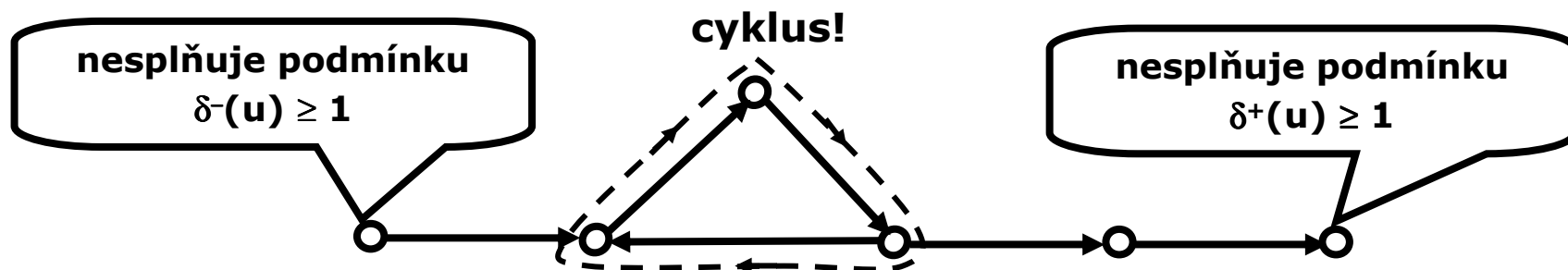
Jak vypadá opačný extrém ?

acyklický graf = orientovaný graf bez cyklů

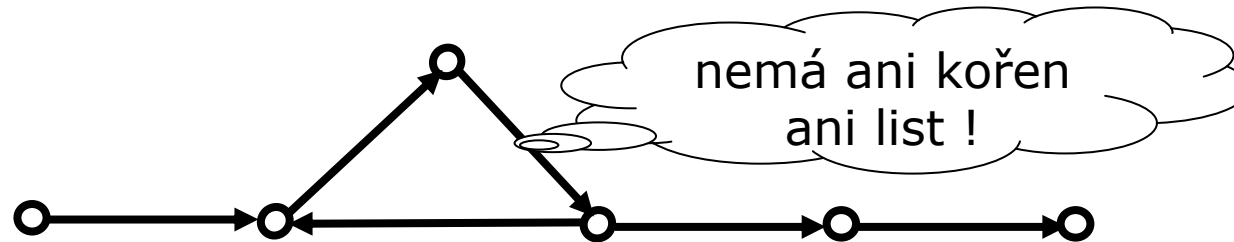
Jak nejlépe testovat, zda je graf acyklický ?

??? Hledáním cyklů ???

Zjištění: Pokud pro uzly orientovaného grafu G platí
 $\forall u \in U: \delta^+(u) \geq 1$ **nebo** $\forall u \in U: \delta^-(u) \geq 1$,
potom graf G obsahuje alespoň jeden cyklus.



Naše zjištění představuje podmínku postačující, nikoliv nutnou!
 \Rightarrow **Pro testování acykličnosti se nehodí.**



Nové zjištění: Orientovaný graf G je acyklický \Leftrightarrow
pro jeho libovolný kořen nebo list u je graf $G - \{u\}$ **acyklický.**

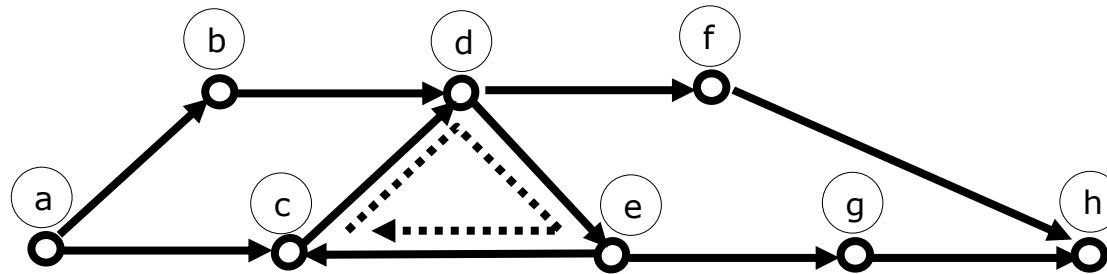
Ted' už můžeme formulovat

ALGORITMUS TESTOVÁNÍ ACYKLIČNOSTI
postupným odebíráním kořenů/listů

K čemu je dobrý acyklický graf ?

Plánujeme pořadí provádění nějakých akcí, např.:

$a < b, a < c, b < d, c < d, d < e, d < f, e < g, e < c, f < h, g < h$



Tyto akce NELZE reálně naplánovat. Proč?

Odpovídající graf není acyklický

Topologické uspořádání uzlů (obyčejného) orientovaného grafu je posloupnost u_1, u_2, \dots, u_n taková, že každá hrana (u_i, u_j) má $i < j$.

Topologické uspořádání hran (obyčejného) orientovaného grafu je posloupnost h_1, h_2, \dots, h_m taková, že každá dvojice **navazujících** hran h_i, h_j má $i < j$ (co jsou to "navazující" hrany ?)

Jak bychom našli topologické uspořádání uzlů ?

Budeme postupně odebírat kořeny grafu ($\delta^-(u)=0$) jako při testu acykličnosti. Jak to efektivně zařídit ?

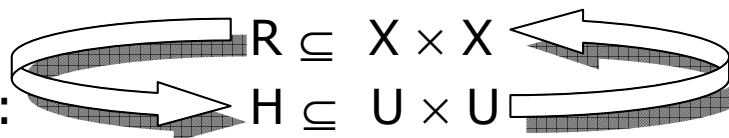
- **pro každý uzel spočítáme**
 - $\delta^-(u)$... vstupní stupeň (je-li =0, je to kořen)
 - $\Gamma(u)$... množinu následníků
- **při každém vypuštění kořene** upravíme $\delta^-(u)$ pro jeho následníky, při poklesu na 0 zařadíme mezi kořeny.

Pořadí odebrání uzlů je jejich topologickým uspořádáním.

! Později uvedeme ještě jednodušší algoritmus !

Vztah orientované grafy :: binární relace

Binární relace na množině X :



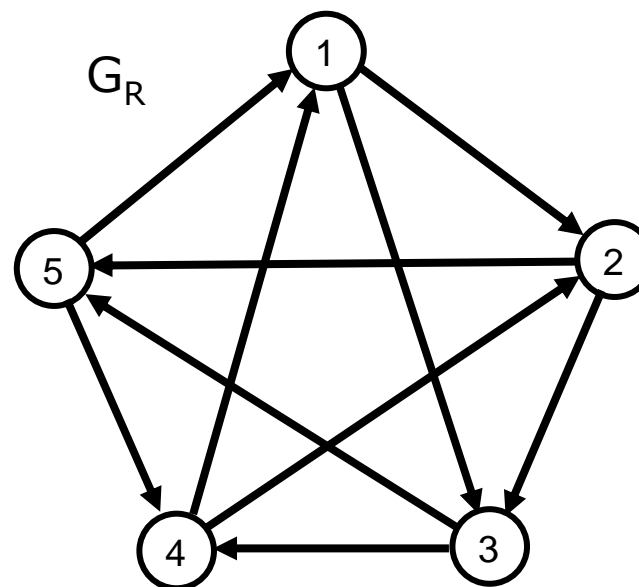
Prostý OG s množinou uzlů U :

(orientovaný) **graf binární relace** $R \dots G_R$:

$h = (u, v)$ vyjadřuje platnost $u R v$

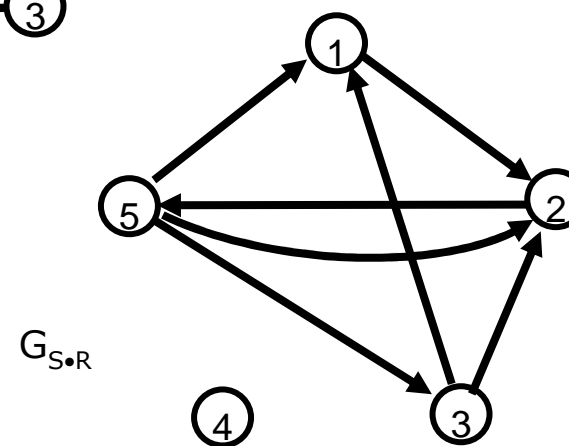
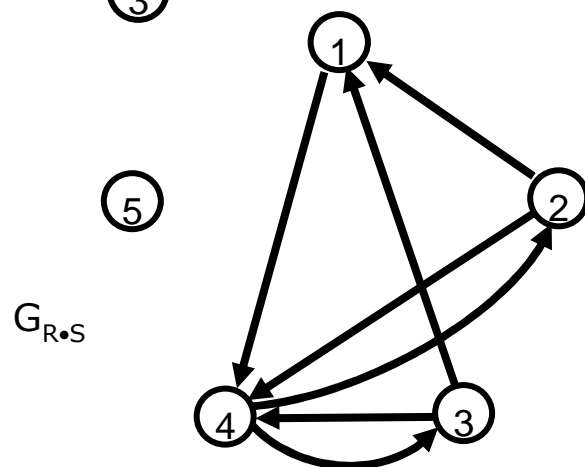
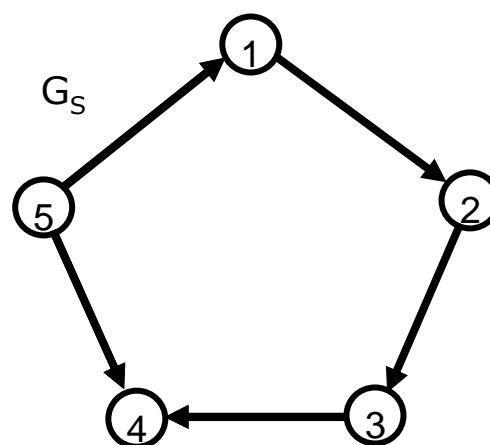
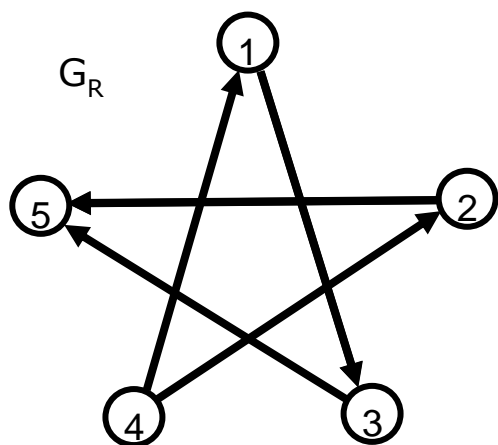
$X = \{1, 2, 3, 4, 5\}$

$R = \{ \langle 1, 2 \rangle, \langle 1, 3 \rangle, \langle 2, 3 \rangle, \langle 2, 5 \rangle, \langle 3, 4 \rangle, \langle 3, 5 \rangle, \langle 4, 1 \rangle, \langle 4, 2 \rangle, \langle 5, 1 \rangle, \langle 5, 4 \rangle \}$



Vztah orientované grafy :: binární relace

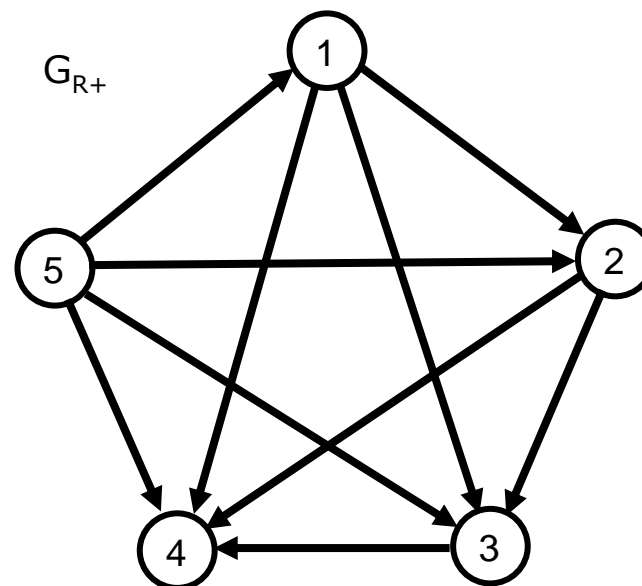
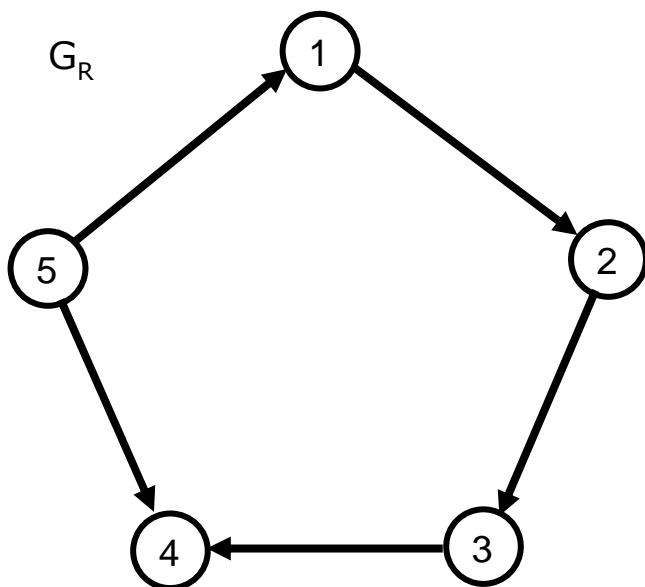
Složení grafů $G_R \bullet G_S = G_{R \bullet S}$



Vztah orientované grafy :: binární relace

(RE), (SY), (TR), (ANS), (AS), (IR) - jak se projeví v grafu ??

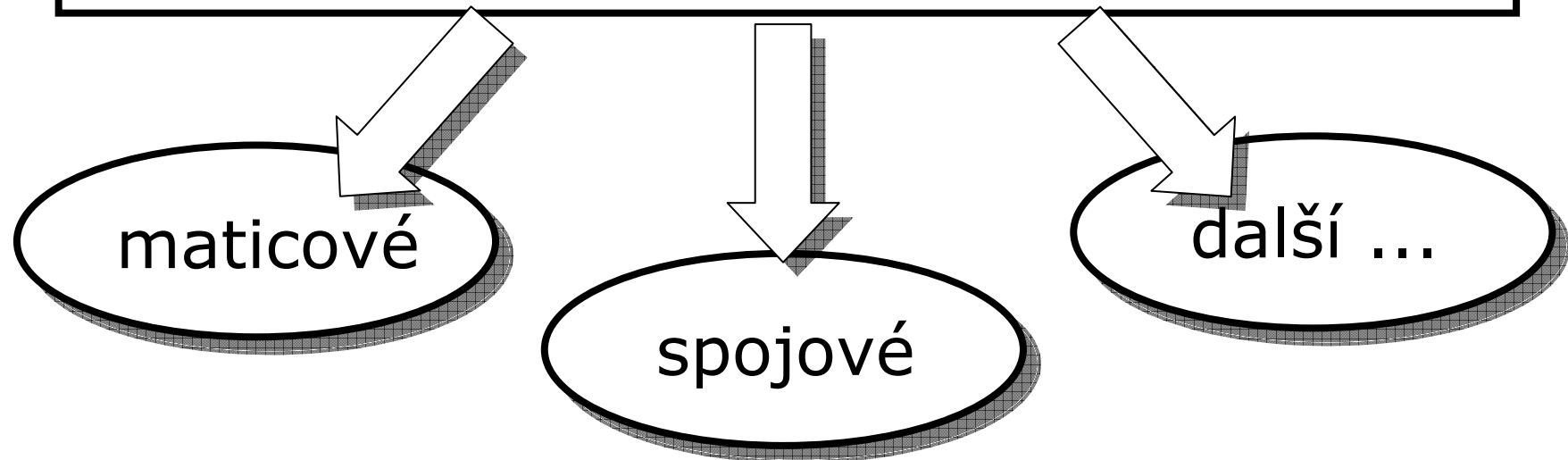
Tranzitivní uzávěr grafu G



Kontrolní otázky

- 3.1 Navrhněte algoritmus topologického očíslování hran acyklického orientovaného grafu.**
- 3.2 Zdůvodněte, proč pro testování acykličnosti (resp. hledání topologického uspořádání uzlů) orientovaného grafu stačí vypouštět jenom kořeny (nebo jenom listy).**
- 3.3 Je topologické uspořádání uzlů (hran) orientovaného grafu určeno jednoznačně ?**
- 3.4 Kolika různými způsoby lze orientovat úplný neorientovaný graf o n uzlech K_n tak, aby byl výsledný graf acyklický ?**
- 3.5 Popište strukturu obyčejného orientovaného grafu s n uzly, který má pro danou hodnotu k ($1 \leq k \leq n-1$) přesně $k! \cdot (n-k)!$ různých topologických uspořádání uzlů.**
- 3.6 Popište strukturu grafu binární relace, která je reflexivní (resp. symetrická, antisymetrická, asymetrická, tranzitivní, ireflexivní).**

REPREZENTACE GRAFU



V této části se seznámíme s pojmy:

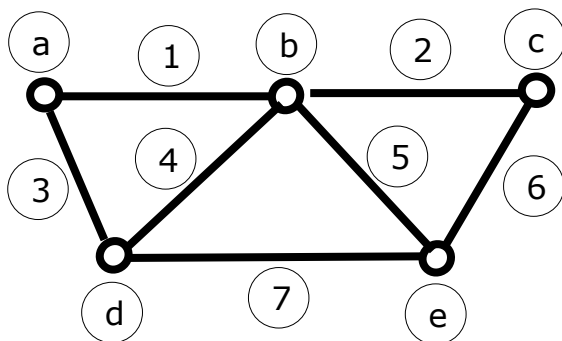
- matice incidence NG/OG, matice sousednosti NG/OG
- (základní) spojová reprezentace NG/OG

Skriptu odstavec 4.1, str. 65 - 74

Matice incidence NG

$A = [a_{ik}]$ obdélníková matice typu $|U| \times |H|$ **nad tělesem mod 2** (pozor na základní operace!)

$a_{ik} = \begin{cases} 1 & \dots \text{hrana } h_k \text{ inciduje s uzlem } u_i \\ 0 & \dots \text{jinak} \end{cases}$



	1	2	3	4	5	6	7
a	1	0	1	0	0	0	0
b	1	1	0	1	1	0	0
c	0	1	0	0	0	1	0
d	0	0	1	1	0	0	1
e	0	0	0	0	1	1	1

? Co nám říká matice incidence o grafu ?
? Smyčky, rovnoběžné hrany ?

Poznáme podle matic incidence, zda jsou dva grafy izomorfní?

Např.: $G_1 \cong G_2$?? právě když ?? $A_1 = A_2$

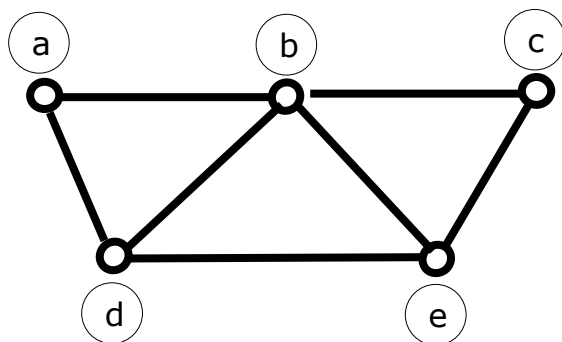
Zjištění:

- **součet (mod 2) ve sloupci je 0 (vždy dvě jedničky!) \Rightarrow řádky jsou lineárně závislé, takže hodnost matice A ...**
- **$h(A) \leq |U| - 1$ (rovnost platí pro souvislé grafy)**
- **$h(A) = |U| - p$ obecný vztah pro graf s p komponentami**

Matice sousednosti NG

$V = [v_{ij}]$ čtvercová matice typu $|U| \times |U|$ **nad okruhem celých čísel:**

v_{ij} = počet hran mezi uzly u_i a u_j



	a	b	c	d	e
a	0	1	0	1	0
b	1	0	1	1	1
c	0	1	0	0	1
d	1	1	0	0	1
e	0	1	1	1	0

? Co nám říká matice sousednosti o grafu ?
? Smyčky, rovnoběžné hrany ?

Poznáme podle matic sousednosti, zda jsou dva grafy izomorfní?

Např.: $G_1 \cong G_2$?? právě když ?? $V_1 = V_2$

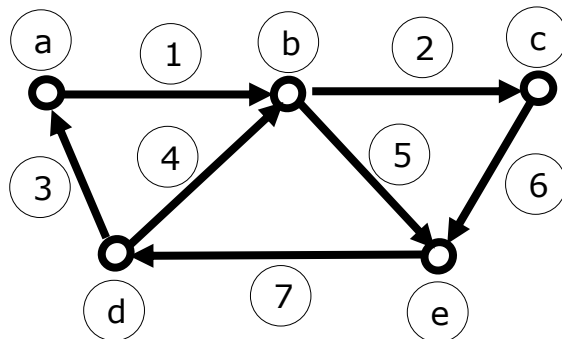
Zjištění:

- $V = V^T$
- $V^r = [v_{ik}^{(r)}]$... počet sledů délky r mezi u_i a u_k
- $A \cdot A^T = V + D$, $D = [d_{ii}]$, kde $d_{ii} = \delta(u_i)$

Matice incidence OG

$A = [a_{ik}]$ obdélníková matice typu $|U| \times |H|$ **nad okruhem celých čísel:**

$$a_{ik} = \begin{cases} 1 & \dots \text{hrana } h_k \text{ vychází z uzlu } u_i \\ -1 & \dots \text{hrana } h_k \text{ končí v uzlu } u_i \\ 0 & \dots \text{jinak} \end{cases}$$



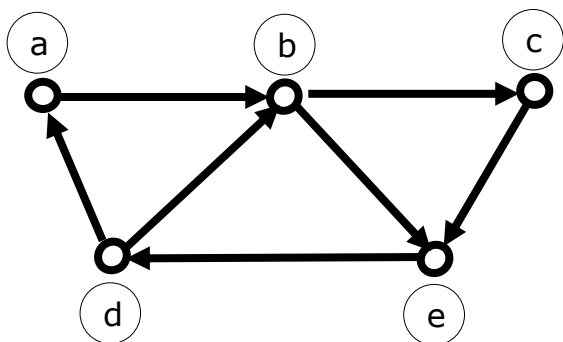
	1	2	3	4	5	6	7
a	1	0	-1	0	0	0	0
b	-1	1	0	-1	1	0	0
c	0	-1	0	0	0	1	0
d	0	0	1	1	0	0	-1
e	0	0	0	0	-1	-1	1

Vlastnosti podobné jako pro NG

Matice sousednosti OG

$V = [v_{ij}]$ čtvercová matice typu $|U| \times |U|$ nad okruhem celých čísel:

v_{ij} = počet hran z uzlu u_i do uzlu u_j



	a	b	c	d	e
a	0	1	0	0	0
b	0	0	1	0	1
c	0	0	0	0	1
d	1	1	0	0	0
e	0	0	0	1	0

	a	b	c	d	e
a	0	1	0	1	0
b	1	0	1	1	1
c	0	1	0	0	1
d	1	1	0	0	1
e	0	1	1	1	0

? Poznáme izomorfní orientované grafy ?

? $V = V^T$?

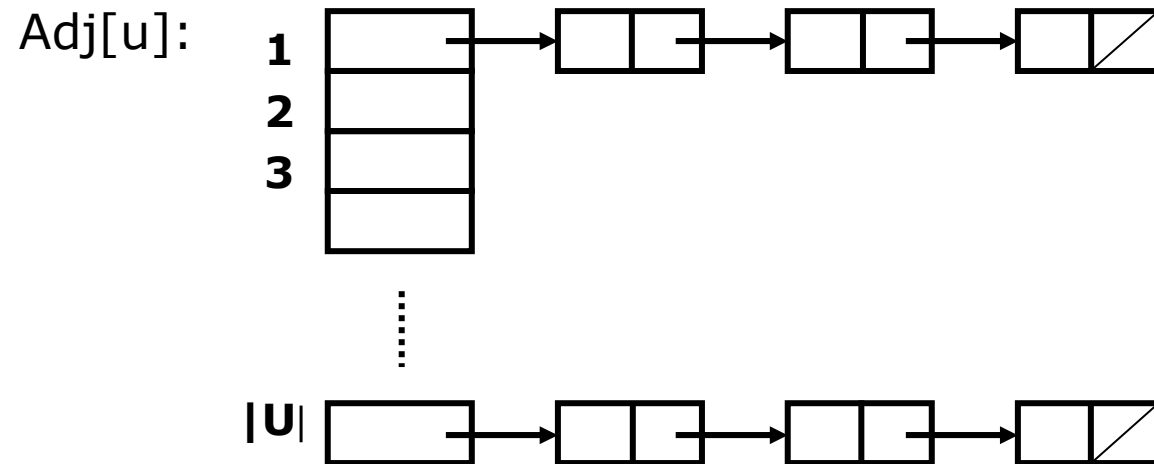
Zjištění:

- $\mathbf{V}^r = [v_{ik}^{(r)}]$... počet spojení délky r z u_i do u_k
- $\mathbf{V}^* = \sum \mathbf{V}^i, i=0, \dots, d,$ kde $d = \min(|H|, |U|-1)$
?? Co asi říká o grafu tato matice \mathbf{V}^* ??
- $\mathbf{A} \cdot \mathbf{A}^T = \mathbf{D} - \mathbf{V} - \mathbf{V}^T, \mathbf{D} = [d_{ii}],$ kde $d_{ii} = \delta^+(u_i) + \delta^-(u_i)$

Spojová reprezentace grafu

NG - seznamy sousedů

OG - seznamy následníků



Srovnání paměťové složitosti:

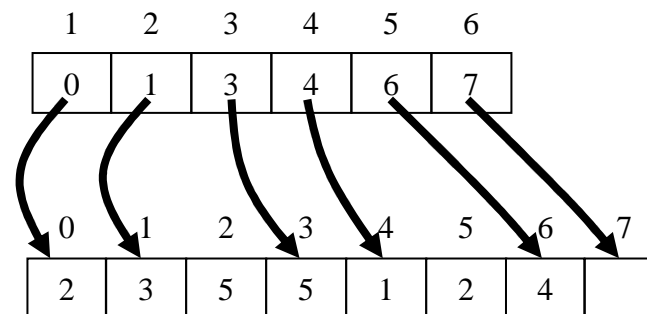
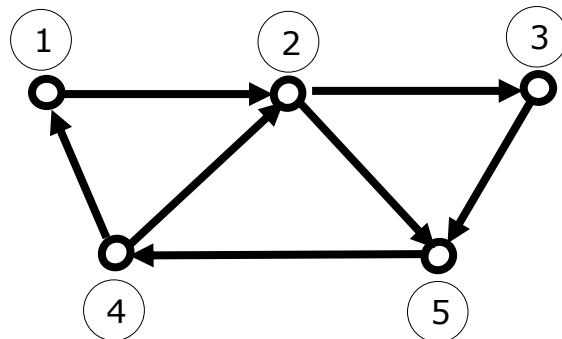
NG A: $|U| \cdot |H|$ (bitů!) V: $|U| \cdot |U|$ (integer ? Boolean)

Adj: $|U| + 2 \cdot |H|$ **OG** Adj: $|U| + |H|$

Základní spojovou reprezentaci mohou ještě doplňovat:

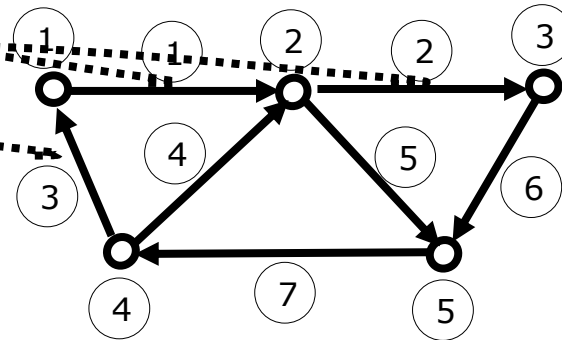
- seznamy předchůdců uzlů (pro OG)
- u každého prvku v seznamu následníků/předchůdců lze uvést i odpovídající označení (číslo) hrany
- přiřazení dvojic (uspořádaných dvojic) uzlů hranám (ρ a σ)
- ohodnocení/označení uzlů a/nebo hran
- atd.

Místo spojové reprezentace seznamů následníků/předchůdců je též možno použít např. uložení v poli:



Až dosud jsme měli na mysli **vnitřní reprezentaci grafů**, ale jsou také různé **vnější reprezentace**, jimiž lze zadat graf na vstupu nějakého programu, např.:

```
// počet uzlů a hran  
5 7  
// hrany jako dvojice uzlů  
1 2  
2 3  
4 1  
4 2  
2 5  
3 5  
5 4
```



Vzpomeňte si na další možnosti ...

Vlastní reprezentaci mohou mít některé speciální typy grafů, jako např.:

- kořenové stromy
- pravidelné stromy
- atd.

Tím jsme se již zabývali na prvním prosemináři ...

Kontrolní otázky

- 3.7 Jak se z matice incidence neorientovaného grafu určí množina sousedů zadaného uzlu? Jaká bude časová složitost této operace?**
- 3.8 Jak se z matice incidence orientovaného grafu určí množina předchůdců zadaného uzlu? Jaká bude časová složitost této operace?**
- 3.9 Přesně popište, jaký bude vztah matice sousednosti (obecného) neorientovaného grafu G a matice sousednosti grafu G' , který vznikl nějakou orientací hran grafu G .**
- 3.10 V jakém orientovaném grafu bude r -tá mocnina V^r matice sousednosti V obsahovat počty různých orientovaných cest mezi jednotlivými uzly ?**
- 3.11 Jak se z matice sousednosti neorientovaného grafu určí množina sousedů zadaného uzlu? Jaká bude časová složitost této operace?**
- 3.12 Jak se z matice sousednosti orientovaného grafu určí množina předchůdců zadaného uzlu? Jaká bude časová složitost této operace?**
- 3.13 Navrhněte algoritmus převodu matice incidence A neorientovaného grafu na jeho matici sousednosti V .**
- 3.14 Navrhněte algoritmus převodu matice sousednosti V orientovaného grafu na jeho matici incidence A .**

Prohledávání grafů

V této části probereme témata

- strom prohledání do šířky (BF-strom)
- časová složitost prohledání do šířky
- rozklad neorientovaného grafu na komponenty

Skripta odstavec 4.2, str. 74 - 79

Prohledávání grafu do šířky

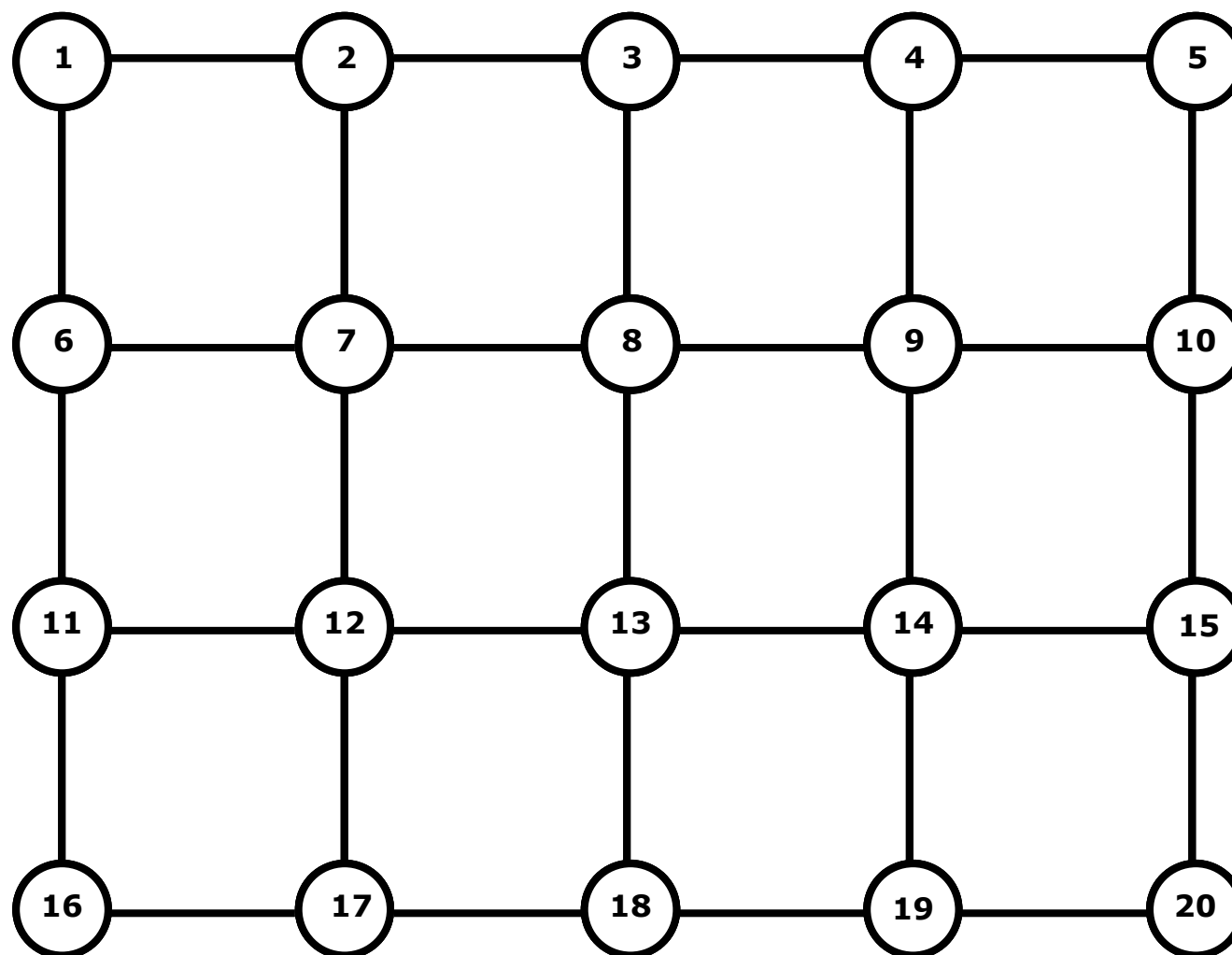
BFS - Breadth-First Search

Je zadán graf $G = \langle H, U, \sigma \rangle$ (není podstatné, zda NG nebo OG) a jeho uzel $s \in U$.

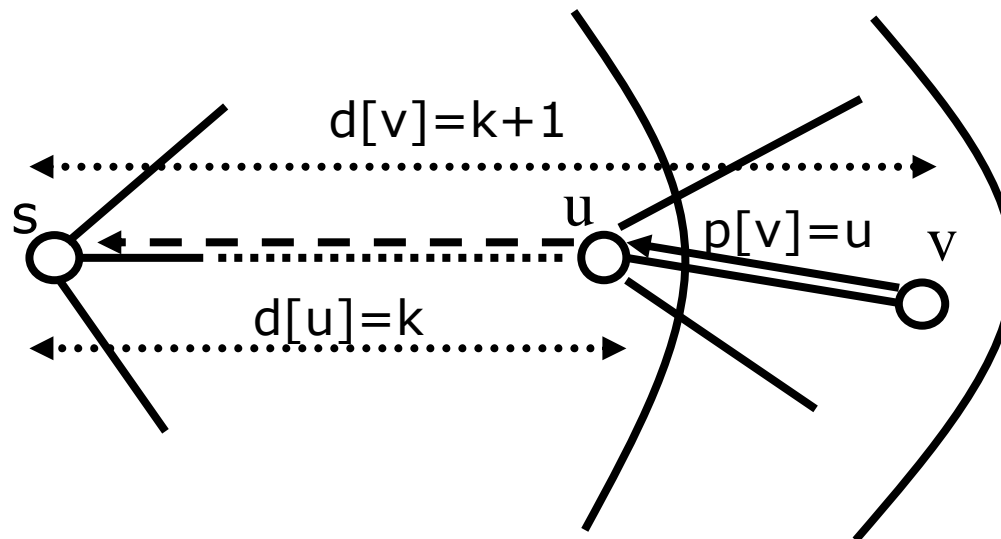
Prohledáním do šířky dostaneme strom (nejkratších) $s \rightarrow u$ cest pro všechny uzly u dostupné z uzlu s (BF-strom)

Stavy uzlů:

- | | |
|---------------|-----------------------------------|
| FRESH | - nový (dosud neobjevený) uzel |
| OPEN | - právě objevený ("nadějný") uzel |
| CLOSED | - vyčerpaný uzel |



Průběh prohledávání do šířky



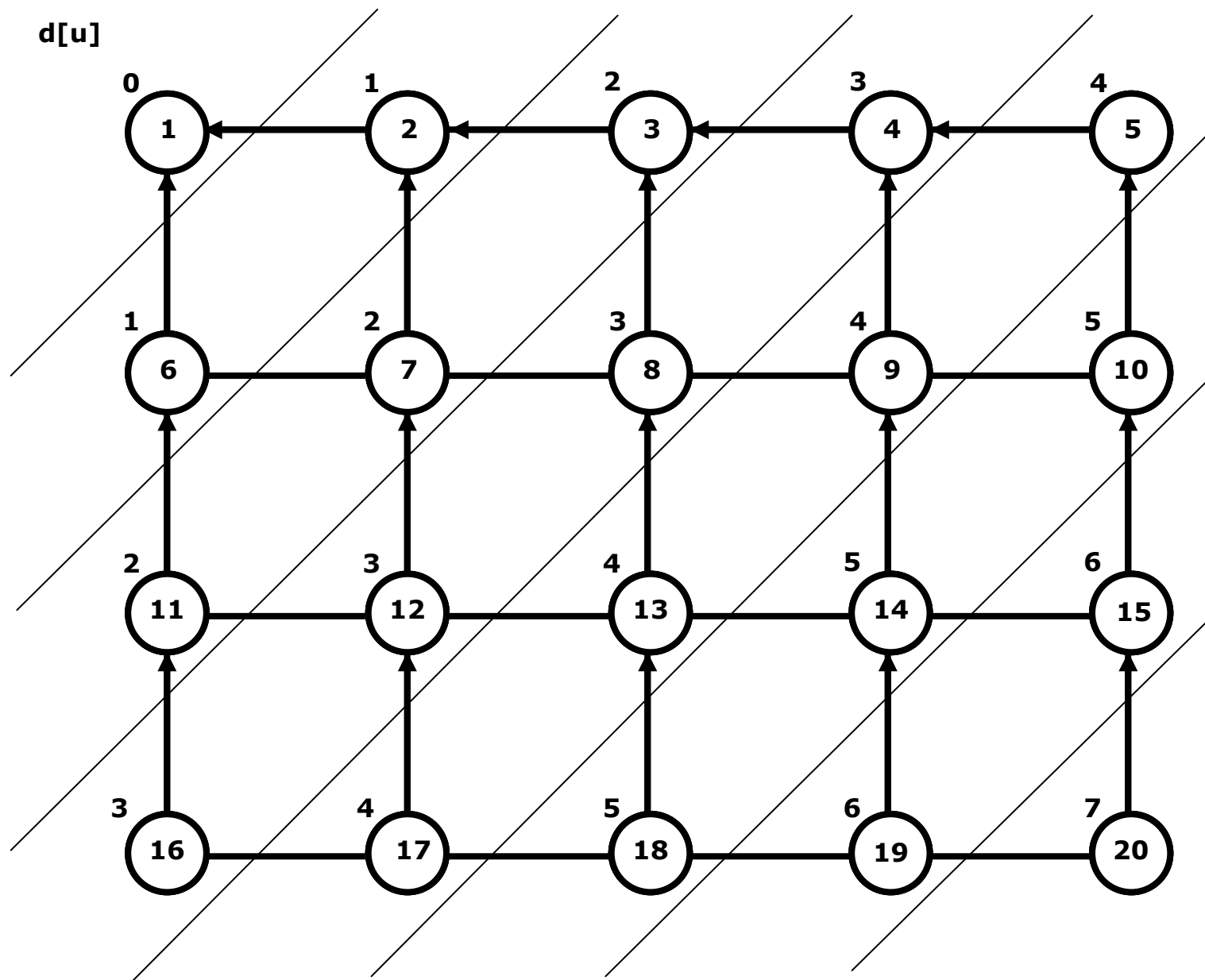
Použité datové struktury:

- | | |
|----------------|--|
| stav[u] | - FRESH / OPEN / CLOSED |
| d[u] | - zjištěná vzdálenost $s \rightarrow u$ |
| p[u] | - předchůdce uzlu u (viz \rightarrow) |
| Queue | - fronta OPEN uzlů |

```

void BFS (Graph G, Node s) {    // pseudokód
1   for (Node u in U(G)-s)
2       { stav[u] = FRESH; d[u] =  $\infty$ ; p[u] = null; }
3   stav[s] = OPEN; d[s] = 0; p[s] = null;
4   Queue.Init(); Queue.Push(s);
5   while (!Queue.Empty()) {
6       u = Queue.Pop();
7       for (v in Adj[u]) {
8           if (stav[v] == FRESH) {
9               stav[v] = OPEN; d[v] = d[u]+1;
10              p[v] = u; Queue.Push(v);
11          } }
12      stav[u]=CLOSED;
13  }

```



Jak složitý je algoritmus BFS?

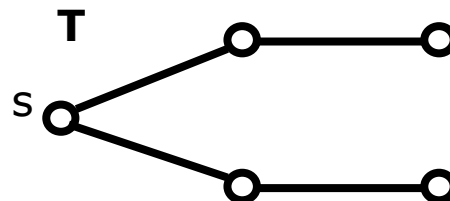
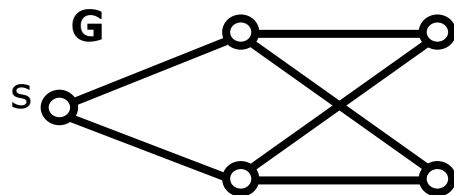
- cykl na řádku 1 a 2 ... $|U|$
- operace s frontou $O(1)$ na uzel \Rightarrow celkem $O(|U|)$
- cykly 5-13 a 7-11 pro každého souseda $\Rightarrow O(|H|)$
 $\Rightarrow O(|U| + |H|)$

Zjištění:

- pokud fronta obsahuje uzly v_1, v_2, \dots, v_r , potom platí
$$d[v_r] \leq d[v_1] + 1$$
$$d[v_i] \leq d[v_{i+1}] \text{ pro } i=1,2,\dots,r-1$$
- BFS nalezne nejkratší $s \rightarrow v$ cestu pro každý uzel v dosažitelný z uzlu s a $(p[v], v)$ určuje její poslední hranu
- všechny tyto hrany tvoří tzv. **BF-strom**

Kontrolní otázky

- 3.15 Změní se nějak chování či výsledek algoritmu BFS, pokud příkaz na řádku 12 umístíme bezprostředně za řádek 6?
- 3.16 Jak budou výsledky algoritmu BFS (tzn. vytvořený BFS-strom a hodnoty $d[u]$) ovlivněny změnou pořadí uzlů v seznamech sousedů ?
- 3.17 Změní se nějak složitost algoritmu BFS, pokud namísto spojové reprezentace použijeme k vyjádření struktury grafu jeho matici incidence A (resp. matici sousednosti V) ?
- 3.18 Zdůvodněte, proč nelze následující strom T získat jako BFS-strom při prohledání grafu G do šířky pro žádné uspořádání uzlů v seznamech sousedů uzlů, přestože strom T představuje jeden z možných stromů nejkratších cest z uzlu s do všech ostatních uzlů.



- 3.19 Jak vypadá neorientovaný graf, jehož BFS strom má při libovolném uspořádání uzlů v seznamu sousedů tvar hvězdice ?
- 3.20 Upravte algoritmus BFS tak, aby určoval počet a strukturu (tj. skupiny uzlů) jednotlivých komponent neorientovaného grafu.